

ベクトル計算機における
S c a l e d C G 法 の 有 効 性 に つ い て

速 水 謙 , 原 田 紀 夫

日 本 電 気 (株) C & C シ ス テ ム 研 究 所

本報告では高度なベクトル処理能力を最大限活用するという立場から、ベクトル計算機向きの高速な連立一次方程式の解法として S c a l e d C o n - j u g a t e G r a d i e n t A l g o r i t h m (S C G 法) を 提 案 す る 。 この解法は偏微分方程式の離散近似等で生じる正定値対称スパースな連立一次方程式の行列を対角項でスケールした後に共役勾配法 (Conjugate Gradient Algorithm) を適用するもので、100%ベクトル処理可能なので高速ベクトル計算が実現でき、高い収束性を保持しているという特徴をもつ。又、所要記憶容量も少なくて済む。例えばスーパーコンピュータSXシステムを用いた数値実験で、従来高速算法として知られているICCG法 (Incomplete Cholesky - Conjugate Gradient Algorithm) に対してもベクトル処理計算機において実行時間で約9~20倍の高速が得られた。又、ICCG法をベクトル処理に適するようにするためリストベクトルを用いた方法に比べても実行時間で約1.6~5.0倍の高速が得られた。これらの種々の数値実験を基にSCG法の有効性を示す。

THE USE OF THE SCALED CONJUGATE GRADIENT ALGORITHM
ON VECTOR PROCESSORS

Ken HAYAMI and Norio HARADA

C&C Systems Research Laboratories, NEC Corporation
4-1-1, Miyazaki, Miyamae, Kawasaki, Kanagawa, '213 Japan

We propose the Scaled Conjugate Gradient (SCG) algorithm as an algorithm suited to vector processors for solving large sparse positive definite linear systems, which arise in the discrete approximation of partial differential equations.

The SCG, which applies the conjugate gradient algorithm after scaling the matrix by its diagonals, is 100% vectorizable, requires little memory and is simple to code.

Numerical experiments were done on the NEC supercomputer SX-2 for various large and ill conditioned problems arising from finite differencing of partial differential equations in 2 and 3 dimensions.

Results show that the SCG is 9 to 21 times as fast in execution time compared to the ICCG algorithm, which is considered to be a powerful algorithm for solving problems mentioned above, and 1.5 to 5 times as fast as the vectorized M/ICCG algorithms which utilize list vectors.

The SCG is also shown to be superior to the ICCG for linear systems with random sparse matrices arising in 3 dimensional finite element analysis.

1. はじめに

高度のベクトル処理能力をもつスーパーコンピュータの出現に伴い、大規模数値シミュレーションにおいて数値計算アルゴリズムがいかにそのベクトル処理能力を生かすかが重要になってきている。本報告では高いベクトル処理能力を生かす高速アルゴリズムを開発するという立場から連立一次方程式のベクトル計算機向き解法を提案する。

近年、偏微分方程式の離散近似に伴う大規模で条件数の大きい対称正定値な連立一次方程式の有力な反復解法として ICCG法 (Incomplete Cholesky - Conjugate Gradient Algorithm)^{1), 2)} が提案されている。この方法は従来のSOR法 (Successive Over Relaxation Method), ADI法 (Alternate Direction Implicit Method)等の反復法及びそれらの改良版に比べ、収束性が極めて良いため、広く使用されている。しかし、ベクトル処理を行うスーパーコンピュータのアルゴリズムという観点からは、ICCG法はその反復の中にベクトル処理に向かない前進後退代入を含むため、ベクトル処理能力を十分に生かし切れない面がある。この対策として近似逆行列の Neumann級数展開などの近似多項式を用いる方法^{3), 4)} などがあるが、メモリーを多用し、複雑である割にはベクトル性能、収束性が思わしくない。また、リストベクトルを用いて前進後退代入をベクトル化する手法⁵⁾ が提案されているが、間接アドレスを用いるため連続アクセスに比べてデータのアクセスが遅くなることと、元数に比べてベクトル長が短いため、ベクトル計算機の性能を十分に生かしていない。

このように ICCG法は反復数が少ないという極めて良い収束性を有するがベクトル処理に向かない部分を含んでいる。そこで我々は、アルゴリズムの実行時間の高速性は単なる反復数だけでなく反復数と反復当りの実行時間の積であるという視点に立ち、元の行列をその対角項によってスケールングを施してからCG法 (Conjugate Gradient algorithm)⁶⁾ を適用する Scaled CG法 (Scaled Conjugate Gradient algorithm, 以下SCG法と呼ぶ)^{5), 6), 7)} をベクトル計算機向きの有力なアルゴリズムとして提案する。SCG法は100%ベクトル処理可能で、所要記憶容量も少なく済み、プログラムも簡単である。反復数という面ではICCG法には及ばないが高度のベクトル処理能力をもつ計算機での実行時間という面では、ICCG法、リストベクトルを用いたベクトル化M/ICCG法より数倍から数十倍の高速性が得られる事を、実際例を含めた多くの例題のスーパーコンピュータSX上での数値実験によりしめす。

2. アルゴリズム

(i) ICCG法

ICCG法^{1), 2)} はCG法の収束を加速するためにまず行列Aの不完全コレスキー分解を行う。つまり、Aの非零要素に対してのみコレスキー分解を行い、

$$A \sim LDL^T \quad (3)$$

を得る。但し、 $L = (l_{ij})$ はAの下対角と同じ非零パターンをもつ下三角行列、Dは対角行列、 L^T はLの転置行列であり、 \sim は近似を表す。(3)より

$$A' \equiv (LD^{1/2})^{-1} A (LD^{1/2})^{-T} \sim I \quad (4)$$

となり、 A' はAより条件の良い正定値対称行列になると考えられる。そこで、

$$\begin{aligned} x' &= (LD^{1/2})^T x \\ b' &= (LD^{1/2})^{-1} b \end{aligned} \quad (5)$$

とおいてもとの方程式(1)と等価な方程式

$$A' x' = b' \quad (6)$$

を得、(6)にCG法(2)を適用し、もとの変数で表すことにより次ぎのICCG法のアルゴリズムを得る。

① Aの不完全コレスキー分解

$$A \sim LDL^T \quad (3) \text{ を行う。}$$

② $r = b - Ax$;

$$p = (LDL^T)^{-1} r;$$

$$i = 1, 2, 3, \dots$$

$$\begin{aligned} \alpha_i &= \frac{(r_i, (LDL^T)^{-1} r_i)}{(p_i, Ap_i)} \\ x_{i+1} &= x_i + \alpha_i p_i \\ r_{i+1} &= r_i - \alpha_i Ap_i \\ \beta_i &= \frac{(r_{i+1}, (LDL^T)^{-1} r_{i+1})}{(r_i, (LDL^T)^{-1} r_i)} \\ p_{i+1} &= (LDL^T)^{-1} r_{i+1} + \beta_i p_i \end{aligned} \quad (7)$$

但し、 $(LDL^T)^{-1} r$, Ap , 内積等は反復当たり1回行えばよい。

ところが、ICCG法(7)の反復毎に現れる $s = (LDL^T)^{-1} r$ の計算は前進後退代入を含んでおり、これらはsのデータの依存関係のため効率良くベクトル処理を行うのが困難である。

(ii) SCG法

この困難を克服するため、我々は不完全コレスキー分解の代わりに、より単純に、行列Aをその対角項

$$D = \text{diag} [a_{11}, a_{22}, \dots, a_{nn}] \quad (8)$$

によりスケールングする。つまり、

$$A' \equiv D^{-1/2} A D^{-1/2} \quad (9)$$

とすれば A' はAより条件の良い正定値対称行列になると考えられるから、

$$x' = D^{1/2} x$$

$$b' = D^{-1/2} b$$

とおき、もとの方程式(1)と同等な

$A' x' = b'$ にCG法を適用することにより、次の Scaled Conjugate Gradient (SCG法)を得る。

$$\text{① } D^{-1} = \text{diag} [1/a_{11}, 1/a_{22}, \dots, 1/a_{nn}]$$

を求める。

$$\text{② } r = b - Ax;$$

$$p = D^{-1} r;$$

$$i = 1, 2, 3, \dots$$

$$\begin{aligned} \alpha_i &= \frac{(r_i, D^{-1} r_i)}{(p_i, Ap_i)} \\ x_{i+1} &= x_i + \alpha_i p_i \\ r_{i+1} &= r_i - \alpha_i Ap_i \\ \beta_i &= \frac{(r_{i+1}, D^{-1} r_{i+1})}{(r_i, D^{-1} r_i)} \\ p_{i+1} &= D^{-1} r_{i+1} + \beta_i p_i \end{aligned} \quad (10)$$

但し、 Ap , $D^{-1} r$, 内積等は反復当たり1回計算すればよい。

SCG法は、行列Aの非零要素を格納する適切なデータ構造を考慮すれば容易に100%ベクトル処理可能である。表1に一般の場合のSCG法とICCG法の反復当りの演算量と必要な記憶領域を比較する。

反復当りの演算量、記憶領域ともSCG法はICCG法より少なくて済む。

表1 SCG法 と ICCG法の 反復当りの演算量、記憶領域

	反復当りの演算量	記憶領域
SCG法	$2nz + 12n$	$0.5nz + 6n$
ICCG法	$4nz + 12n$	$nz + 5.5n$

(注) n : 元数, nz : 行列Aの非零要素数

3. 有限差分法に対する数値実験結果

ここでは、偏微分方程式の有限差分近似で生じる規則スパースな連立一次方程式に対してSCG法とICCG法をNECのスーパーコンピュータ SX-2上の数値実験により比較する。

(i) 2次元非定常拡散方程式

$$\text{ケース ①}^{2)} \\ \frac{\partial u}{\partial t} = \frac{\partial}{\partial x} (\rho \frac{\partial u}{\partial x}) + \frac{\partial}{\partial y} (\rho \frac{\partial u}{\partial y}) \quad (11)$$

を図1の境界条件 (Dで $u=0$, Nで $\frac{\partial u}{\partial n}=0$) のもとで、時間刻み ($\Delta t=1$) を1つ進めるために陰的に解く。まずめに変数を対応させた5点中心差分により1875元の正定値対称な連立一次方程式を得る。条件数は約 8×10^6 で、条件の悪い問題である。

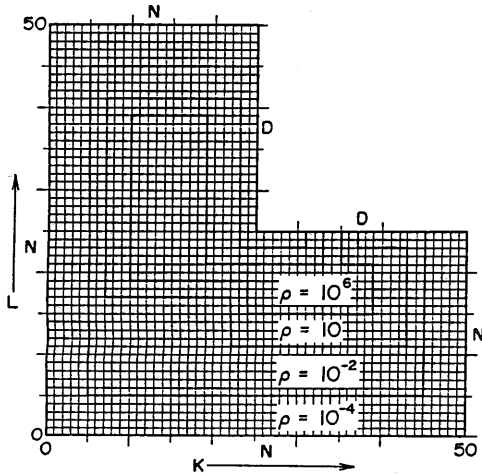


図1 2次元非定常拡散方程式の計算領域 (Kershaw のモデル)

(ii) 3次元拡散方程式

$$-\frac{\partial}{\partial x} (k_x \frac{\partial u}{\partial x}) - \frac{\partial}{\partial y} (k_y \frac{\partial u}{\partial y}) - \frac{\partial}{\partial z} (k_z \frac{\partial u}{\partial z}) = f \quad (12)$$

を図2, 図3の直方体領域で格子点を変数に対応させた7点中心差分で解く。境界条件は図2, 図3で現れている面に対しては $\frac{\partial u}{\partial n}=0$, 現れていない面に対しては $u=0$ とする。

また、熱源は領域で一様に $f=500$ とする。

ケース ② (メッシュ数mの変化)

各方向のメッシュ数を $m=10, 20, 30, 40, 50$ と変化させる。従って m^3 の元数の連立一次方程式を得る。(但し図2で $x=y=z=5$, $k_x=k_y=k_z=1$)

ケース ③ (係数kの空間変化)

係数 $k=k_x=k_y=k_z$ が図3の様に空間的に1から r^6 まで変化する。但し、 $r^6=10^3, 10^6, 10^9$ 。(但し、図3で $x=y=z=5$, $m=20$)

ケース ④ (係数kの異方性)

(1) $k_x=1, k_y=5, k_z=25$

(2) $k_x=1, k_y=10, k_z=100$

(但し、図2で $x=y=z=5$, $m=20$)

ケース ⑤ (メッシュ間隔の異方性)

(1) $x=2, y=5, z=10$

(2) $x=1, y=5, z=25$

(但し、図2で $k_x=k_y=k_z=1$, $m=20$)

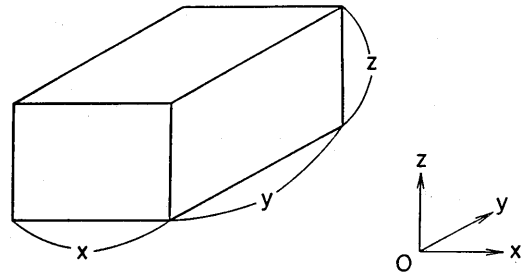


図2 3次元拡散方程式の計算領域

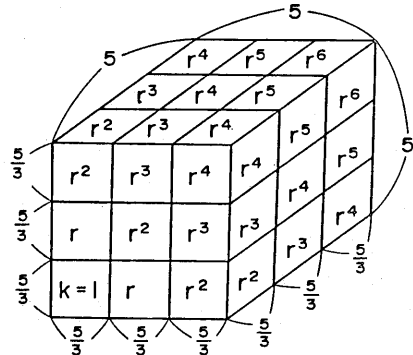


図3 拡散係数 k が空間的に変化する例

以上でメッシュの番号付けはx, y, z方向の順に付け、行列Aの非零要素の値は、対角方向の一次元配列に格納し、行列とベクトルの積のベクトル処理を容易にした。また解の初期ベクトルは全て $x_1=0$ とした。

代表的な例として図4に、ケース②, $m=30$ の場合のSCG法とICCG法の相対残差 L_2 ノルム(対数スケール)の推移をSX-2でベクトル処理した実行時間を横軸にとったグラフに示す。ベクトル処理におけるSCG法の優位性が明らかである。

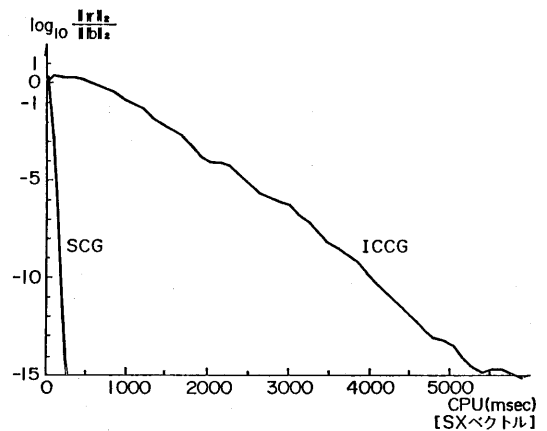


図4 SCG法とICCG法のSX-2ベクトル処理実行時間 vs. 相対残差 L_2 ノルム (ケース②, $m=30$)

次に、ケース①～⑥に対してSCG法とICCG法が相対残差 L_2 ノルム

$$\|b - Ax_1\|_2 / \|b\|_2 < 10^{-6},$$

を達成するのに要したSX-2ベクトル処理の実行時間、反復数、ベクトル処理による加速率（スカラー処理の実行時間／ベクトル処理の実行時間）、及びICCG法とSCG法のベクトル処理の実行時間の比を表2に示す。

表2より、SCG法はICCG法に比べて、ベクトル処理の実行時間で、普通の問題で1.8～2.1倍、条件の悪い問題でも8.6～1.8倍速い。また、SCG法のベクトル処理による加速率が50倍であるのに対して、ICCG法では2倍にとどまっておりますSX-2の性能が十分に生かされていない。

これは先に述べた様にICCG法の前進後退代入がベクトル化されなかったためである。（不完全コレスキー分解に要する時間は全体の1%以下である。）実際、ICCG法のプログラムのプログラムのベクトル化率は48%前後であった。従ってICCG法はベクトル処理によって2倍以上は速くならない。

以上によりSCG法のベクトル計算機における有効性が明らかにされたが、SCG法におけるスケーリングの前処理としての効果の評価するために、ただのCG法と比較する。表3に、同じケース①～⑤の問題に対してCG法で打ち切り相対残差 L_2 ノルム 10^{-6} を達成するのに要したSX-2ベクトル処理の実行時間と反復数、及びSCG法のベクトル処理実行時間との比較を示す。

普通の問題ではSCG法はCG法の2倍速い程度だが、条件の悪い問題、特に係数の空間変化の激しい問題ではCG法では収束しない場合でもSCG法は比較的少ない反復数で収束しており、スケーリングが前処理として有効に働いている事がわかる。

表3 SCG法とCG法の比較 (SX-2, ベクトル実行)

ケース	CG法		CG/SCG (CPU時間比)
	CPU時間 (msec)	反復数	
① Kershaw のモデル	144	1709	13
② メッシュ数の変化			
m=10	3.74	78	1.8
m=20	54.4	164	2.0
m=30	272	249	2.0
m=40	861	336	1.9
m=50	2140	423	1.9
③ 係数 k の空間変化			
r*=10*	699	2111	17
r*=10*	収束せず	20000	—
r*=10*	収束せず	20000	—
④ 係数 k の異方性			
k _x =1, k _y =5, k _z =25	130	393	2.5
k _x =1, k _y =10, k _z =100	193	583	3.2
⑤ メッシュ間隔の異方性			
x=2, y=5, z=10	88.8	268	1.7
x=1, y=5, z=25	145	439	2.5

(注) 打ち切り相対残差 L_2 ノルムは 10^{-6}

表2 SCG法とICCG法の比較 (SX-2, ベクトル実行)

ケース	SCG法			ICCG法			ICCG/SCG (CPU時間比)
	CPU時間 (msec)	反復数	ベクトル 加速率	CPU時間 (msec)	反復数	ベクトル 加速率	
① Kershaw のモデル	11.1	114	42	159	35	1.9	14
② メッシュ数の変化							
m=10	2.08	37	37	38.4	16	1.9	18
m=20	27.4	72	49	565	28	1.9	21
m=30	138	111	51	2870	43	2.0	21
m=40	442	152	51	8870	56	2.0	20
m=50	1120	194	50	22000	71	2.0	20
③ 係数 k の空間変化							
r*=10*	40.2	106	49	723	36	1.9	18
r*=10*	46.3	122	49	841	42	1.9	18
r*=10*	50.4	133	49	920	46	1.9	18
④ 係数 k の異方性							
k _x =1, k _y =5, k _z =25	52.4	138	48	743	37	1.9	14
k _x =1, k _y =10, k _z =100	61.0	161	49	703	35	1.9	12
⑤ メッシュ間隔の異方性							
x=2, y=5, z=10	53.8	142	49	723	36	1.9	13
x=1, y=5, z=25	59.1	156	49	506	35	1.9	8.6

(注) 打ち切り相対残差 L_2 ノルムは 10^{-6}

4. ベクトル化 M/ICCG法とSCG法の比較

ICCG法をベクトル化する試みも多くなされており⁽⁸⁾、⁽¹¹⁾、その中でもリストベクトルを用いる方法^{(9),(10)}が有効とされている。これは前進後退代入などで、互いにデータ依存関係の無い節点(有限差分メッシュの場合 x, y, z 方向の格子座標 i, j, k が $i+j+k=$ 一定を充たす面内の節点)に関してリストベクトルを用いてベクトル化する手法である。

また、有限差分に対するICCG法の収束を加速する手法として、MICCG法(Modified ICCG algorithm)⁽⁹⁾、⁽⁸⁾が提案されている。これは、不完全コレスキーク分解 $A \sim LDL^T$ で得られる $D: dd_i$ を

$$dd_i = 1 / [d_i - c_i * dd_{i-1} * (c_i + \theta * (a_{i+m_2-1} + b_{i+m_1-1})) - b_i * dd_{i-m_1} * (b_i + \theta * (c_{i+1-m_1} + a_{i+m_2-1})) - a_i * dd_{i-m_2} * (a_i + \theta * (b_{i+m_1-m_2} + c_{i+1-m_2}))]$$

(13)

の様に修正したものである。但し(13)は3次元の有限差分で生じる図4の様な行列Aの第 i 行の非零要素に対して、対角を d_i 、第1下対角を c_i 、第 m_1 下対角を b_i 、第 m_2 下対角を a_i (但し $m_1 < m_2$)、加速パラメータを θ とおいたものである。

表4にケース②~⑥の3次元問題に対してSCG法と、リストベクトルを用いたICCG法及びMICCG法のSX-2ベクトル処理の実行時間を比較する。MICCG法は加速パラメータ $\theta = 0.975, 0.95, 0.9, 0.8, 0.7, 0.6, 0.5, 0.4, 0.3, 0.2, 0.1, 0$ (ICCG)のうち最適であったものを示した。打ち切り相対残差 L_2 ノルムは 10^{-6} である。

ほとんどの場合SCG法はM/ICCG法の3~5倍速く、異方性のある場合でも1.5~2.6倍速い。ちなみに、ケース②、 $m=50$ でのSCG法の演算処理速度は788MFLOPSであった。

これは、SCG法ではベクトル長が元数 $m^3 = 1000 \sim 125000$ であるのに対し、リストベクトルを用いたM/ICCG法ではベクトル長はデータの依存関係がない面上の節点数 (m^2 のオーダー)しかとれないこと、またリストベクトルM/ICCG法では間接アドレス参照があるため、SCG法の連続アドレス参照に比べてアドレス参照の負荷が大きいためである。

表4 SCG法とベクトル化M/ICCG法の比較 (SX-2ベクトル実行)

ケース	SCG法		ベクトル化ICCG法			ベクトル化MICCG法			
	CPU時間 (msec)	反復数	CPU時間 (msec)	反復数	ICCG SCG (CPU)	CPU時間 (msec)	反復数	最適 θ	MICCG SCG (CPU)
② メッシュ数の変化									
m=10	1.57	37	7.79	16	5.0	7.33	15	0.2	4.7
m=20	19.9	72	76.1	28	3.8	73.5	27	0.5	3.7
m=30	99.7	111	364	43	3.7	339	40	0.8	3.4
m=40	323	152	1100	56	3.4	1020	52	0.9	3.2
m=50	801	194	2690	71	3.4	2420	64	0.95	3.0
③ 係数 k の空間変化									
$r^* = 10^3$	30.1	106	97.2	36	3.2	92.0	34	0.5	3.1
$r^* = 10^4$	34.5	122	113	42	3.3	105	39	0.8	3.0
$r^* = 10^5$	36.5	133	124	46	3.4	118	44	0.4	3.2
④ 係数 k の異方性									
$k_x=1, k_y=5, k_z=25$	37.8	138	99.9	37	2.6	92.0	34	0.7	2.4
$k_x=1, k_y=10, k_z=100$	44.1	161	94.6	35	2.1	84.0	31	0.6	1.9
⑤ メッシュ間隔の異方性									
$x=2, y=5, z=10$	38.9	142	97.2	36	2.5	89.3	33	0.4	2.3
$x=1, y=5, z=25$	42.8	156	68.2	25	1.6	62.9	23	0.7	1.5

(注1) 打ち切り相対残差 L_2 ノルムは 10^{-6} (注2) θ はMICCG法のパラメータ

以上の議論により、3次元の有限差分で生じる問題で、SCG法はリストベクトルを用いたベクトル化M/ICCG法に対して、SX-2上で優位であることが示された。...

(注1: 表4のSCG法のプログラムは3次元有限差分専用で作っており、メモリーへのストア回数が少ないため、表2の汎用規則スパース用に作ったSCG法のプログラムに比べて3割ほど速くなっている。)

(注2: リストベクトルM/ICCG法のプログラムは日本電気技術情報システム(株) 亘 紀子氏に作成して頂いたものである。)

5. デバイス・シミュレーションへの適用

デバイス・シミュレーションで生じる2次元ポアソン方程式の有限差分近似 (50×50 の不等間隔メッシュ) で生じる連立一次方程式に対してSCG法とリストベクトルを用いたICCG法をSX-2上で比較した結果を表5に示す。但し、打ち切り相対 L_2 残差は 10^{-15} とした。

なお、SCG法とICCG法で得た解ベクトルの差の相対 L_2 誤差は 4.9×10^{-15} で、SCG法の解はICCG法の解と比べて精度は変わらないと考えられる。

(解析データの使用を快諾して頂いた日本電気(株) マイクロエレクトロニクス研究所 福岡主任に感謝致します。)

表5 デバイス・シミュレーションでのSCG法とリストベクトルICCG法の比較

	SCG法	ICCG法 リストベクトル
CPU時間	13.3ms	46.2ms
反復数	162回	43回

6. ランダム・スパース行列へのSCG法の適用

次に、ランダム・スパースで正定値対称な大規模連立一次方程式へのSCG法の適用を検討する。

有限要素法などで生じるランダム・スパース行列に対してSCG法を適用する際、ベクトル計算機上で効率良く行列とベクトルの積を計算するための行列のデータ構造が重要となる。

従来、対称なランダム・スパース行列を格納するのに行方向のリストがよく用いられてきた。しかし、有限要素法などでは1節点につながる節点数は限られているので、行方向リストを用いて行列とベクトルの積を計算すると最深 `do loop` 長が短いため、高いベクトル性能を引き出しにくい。

そこで、ベクトル計算機向けのデータ構造として、次の様な対角方向リストを提案する:

AD(j): 行列Aの対角要素,
AU(1): 行列Aの上対角非零要素,
JC(1): AU(1)の列番号,
KD(i): i本目の対角方向リストは第KD(i)上対角上にある,
ID(i): i本目の対角方向リストの先頭要素の要素番号,
NT: 対角方向リストの本数,
N: 元数,
対角方向リストで行列とベクトルの積 $s = Ap$ を計算するには、

$$j=1, 2, \dots, N$$

$$S(j)=AD(j)*P(j)$$

$$i=1, 2, \dots, NT$$

$$k=KD(i)$$

$$l=ID(i), \dots, ID(i+1)-1$$

$$j=JC(i)$$

$$S(j-k)=S(j-k)+AU(1)*P(j)$$

$$S(j)=S(j)+AU(1)*P(j-k)$$

(14)

とすればよい。

有限要素メッシュが規則的な場合は行列の非零要素は対角方向に並ぶ。また複雑なメッシュでも空間的に規則的に(例えば x, y, z 方向の順に)番号付けを行えば、対角方向に並ぶ傾向を持つ。

従って、(14)の対角方向リストに沿った l による最深 do loop 長は、行方向リストの場合に比べて長い。また、最深 do loop 内では $S(j), P(j)$ 等の引数は単調増加であるから、ベクトル処理に際するデータ参照関係の問題も生じない。

7. 有限要素法に対する数値実験結果

3次元の複雑な形状の静電界の有限要素解析に対して、SCG法及びICCG法を適用した数値実験結果を表6に示す。SCG法は行方向、対角方向リストについて、ICCG法は行方向リストについて、打ち切り相対残差 L_2 ノルムを 10^{-15} にとったときの $SX-2$ ベクトル処理の実行時間と反復数を示した。

ランダム・スパース行列においても、SCG法はICCG法に対して優位である。但し、行方向リストのICCG法では、実行時間の99%以上は不完全コレスキ分解に費やされてる。従って、ICCG法はより適切なデータ構造の検討が必要である。

対角方向リストを用いたSCG法は、行方向リストを用いたSCG法に比べて $SX-2$ ベクトル処理の実行時間で2~3倍速い。これは、行方向リストの平均ベクトル長が6であるのに対して、対角方向リストの平均ベクトル長が25~64と長くなっているのが主な原因と考える。なお表6の解析データは節点番号が空間的に規則的につけられており、半バンド巾が小さいので、対角方向リストに向いている。

(表6の3次元静電界有限要素法の解析データの使用を快諾して頂いた日本電気(株)C&Cシステム研究所土肥主任に感謝致します。)

表6 3次元有限要素法で生じるランダム・スパース行列に対するSCG法(対角方向、行方向リスト)、ICCG法(行方向リスト)の比較

アルゴリズム		ケース 1	ケース 2	ケース 3	ケース 4
	元数	1167	2039	3575	6309
対角方向 SCG法	$SX-2$ ベクトル 実行時間 (msec)	24.1	36.9	55.9	94.3
行方向 SCG法	$SX-2$ ベクトル 実行時間 (msec)	50.4	93.9	157	278
両SCG法	反復数	19	20	20	21
行方向 ICCG法	$SX-2$ ベクトル 実行時間 (msec)	4610	17500	49400	
	反復数	5	5	5	

(注) 打ち切り相対残差 L_2 ノルムは 10^{-15} 。

8. むすび

本論文では、偏微分方程式の離散近似などで生じる正定値対称大規模スパースな連立一次方程式のベクトル計算機向きの反復解法としてSCG法を提案した。SCG法は100%ベクトル処理可能で容易に高速ベクトル計算が実現でき、収束性も良いのでベクトル計算機上の実行時間の面で有効である。また、所要記憶容量も少なくて済む。

スーパーコンピュータ $SX-2$ 上の数値実験により、2、3次元の有限差分法で生じる幅広い問題に対してSCG法は、従来のICCG法に比べて実行時間で約9~21倍速く、リストベクトルを用いたベクトル化 $M/ICCG$ 法に対しても1.5~5倍速い事をしめした。

また、3次元の有限要素法で生じるランダムスパースな問題に対して、SCG法に適した対角方向リストによるデータ格納方式を提案し、SCG法がICCG法に比べて優位な事を示した。

以上により、SCG法は高度なベクトル処理能力をもつスーパーコンピュータでの有力なアルゴリズムと考える。

参考文献

- 1) Meijerink, J.A. and Van der Vorst, H.A.: Iterative solution method for linear systems of which the coefficient matrix is a symmetric M-matrix, Math. Comp., Vol. 31, pp. 148-162 (1977).
- 2) Kershaw, D.S.: The incomplete Cholesky - conjugate gradient method for the iterative solution of systems of linear equations, J. Comp. Phys., Vol. 26, pp. 43-65 (1978).
- 3) 後 保範: ベクトル計算機向きICCG法, 京都大学数理解析研究所講義録, No. 514, pp. 110-134, 京都 (1984).
- 4) Hestenes, M.R. and Stiefel, E.: Method of conjugate gradients for solving linear systems, J. Res. Nat. Bur. S. standards, No. 49, pp. 409-436 (1952).
- 5) Fox, R.L. and Stanton, E.L.: Developments in structural analysis by the direct energy minimization, AIAA, Vol. 6, No. 6, pp. 1036-1042 (1968).
- 6) 速水 謙, 原田 紀夫: Scaled CG法再考, 情報処理学会第30回全国大会予稿集, pp. 1731-1732 (1985).
- 7) Hayami, K. and Harada, N.: The scaled conjugate gradient method and vector processors, Proceedings of the First International Conference on Supercomputing Systems, pp. 213-221, Florida (1985).
- 8) 村田, 小国, 唐木: スーパーコンピュータ (科学技術計算への応用), 丸善, 東京 (1985).
- 9) Gustafsson, I.: A class of first order factorization methods, BIT 18, pp. 142-156 (1978).
- 10) Johnson, O.G. and Paul, G.: Optimal parametrized inverse preconditioning for conjugate gradient calculations, Res. Rep., RC8644, IBM Research Center, Yorktown Heights, NY (1981).
- 11) Van der Vorst, H.A.: A vectorizable variant of some ICCG methods, SIAM J. Sci. Stat. Comput., Vol. 3, No. 3, Sept. (1982).